## تحضير ودراسة الخصائص الحرارية لكوبوليمرات المشتقة من (البس فينول - A والبس فينول - S)

هدى سالم خضير، وداد صالح حنوش، زكي ناصر كاظم قسم الكيمياء، كلية العلوم، جامعة البصرة، البصرة، العراق تاريخ الاستلام: 25 / 12 / 2016 تاريخ قبول النشر: 8 / 9 / 2016

#### **Abstract**

In this study, resol resins were prepared from the reaction of (bisphenol-A or bisphenol-S) with formalin in the basic medium. Also copolymers of these resin prepared by using different ratios (5-25%) of polyvinyl alcohol with (bisphenol-A or bisphenol-S) with formalin in the basic medium.

These resins, copolymers were characterized by FTIR and evalvated by differential scanning calorimetry (DSC) and thermogravimetric analysis (TGA) techniques. The result from DSC thermograms shows that the glass transition temperature (Tg) for resol resin derived from bisphenol-A is less than that derived from bisphenol-S. However, the Tg values for the cured copolymers were found to be less than that for the resin derived from bisphenol-A and bisphenol-S.

The TGA thermograms for cured resins and copolymers show more than one thermal decomposition temperature. Also, higher rates of the char residue especially to resins and copolymers derived from bisphenol-S.

### Keyword

Bisphenol-A, Bisphenol-S, Resol, Polyvinyl alcohol, Thermal stability.



#### الخلاصة

حضر في هذه الدراسة راتنج الريسول لمركبي البس فينول-A والبس فينول-S من تفاعل البس فينول المقابل مع محلول الفورمالين في وسط قاعدي من محلول هيدروكسيد الصوديوم، ثم حضرت كوبوليمرات لمركبي البس فينول-A والبس فينول-S وذلك بتفاعلها كلا على حده مع محلول الفورمالين بوجود هيدروكسيد الصوديوم كعامل مساعد وبوجود نسب وزنية مختلفة (5-25%) من بولى كحول الفينيل.

شخصت الراتنجات والكوبوليمرات المحضرة بتقنية الاشعة تحت الحمراء وتم تقيمها حرارياً باستخدام تقنيتي المسح التفاضلي المسعري والتحليل الحراري الوزني ومن منحنيات المسح التفاضلي المسعري تم استخراج قيم درجات الانتقال الزجاجي ولوحظ ان قيمتها لراتنج الريسول المحضر من البس فينول-A اقل مما هو عليه لراتنج الريسول المحضرة مي المحضر من البس فينول-S، فضلا عن ذلك لوحظ ان قيم درجات الانتقال الزجاجي للكوبوليمرات المحضرة هي أوطأ من راتنجي الريسول المحضرة من المركبين أعلاه، في حين أشارت منحنيات التحليل الحراري الوزني للراتنجات والكوبوليمرات المحضرة عن وجود اكثر من درجة تفكك حراري، فضلاً عن النسب العالية للتفحم مما يؤهلها للاستعالها في مجالات العزل الحراري وخاصة الراتنجات والكوبوليمرات المشتقة من البس فينول-S.

### الكلمات المفتاحية

البس فينول-A، البس فينول-S، الريسول، بولي كحول الفينيل، الثبات الحراري.



### 1. المقدمة

تعد الراتنجات الفينولية أولى البوليمرات المحضرة صناعياً والتي حضرت من مركبات بسيطة ذات أوزان جزيئية واطئة، وعرفت براتنجات الفينول فورمالديهايد والتي تسمى بالفينو بالست [1]. وقد حضرت من تكاثف المركبات الفينولية مع الفورمالديهايد أو الألدهيدات الأخرى، بوجود الحامض أو القاعدة كعوامل مساعدة[2]. تعد الراتنجات الفينولية واحدة من أهم البوليمرات المتصلبة حرارياً بسبب خصائصها المميزة كالأستقرار الحراري [3] والقوة الميكانيكية [4] وخواص العزل الكهربائي [5] ، وتستعمل في مختلف التطبيقات التجارية والصناعية والصناعات التحويلية [6]، فالعامل الاساس في تحديد مدى ملائمة المنتج النهائي في مختلف التطبيقات هو مدى هشاشة وصلابة ذلك المنتج [7,8,9]. فالراتنجات الفينولية، صلدة وهشة بسبب درجة التشابك العالى والذي يحد من تطبيقاتها [10].

الهدف الرئيس من عملية التحوير لراتنجات الفينولية هو تقليل هشاشة هذه البوليمرات وزيادة متناتها ومرونتها وتحسين بعض من خصائصها الفيزيائية وتحسين خصائص الالتصاق وتكنولوجيا قولبة المواد. وأجريت بحوث عديدة لتحسين خصائص الراتنجات الفينولية، وللإنتاج راتنجات فينولية محورة وجديدة ذات مواصفات ملائمة للاستخدامات المتنوعة مثل: ثباتها الحراري والكيميائي وزيادة في قوة التصادم والشد وغير ذلك، ولغرض تحسين 2. الجزء العملي تلك المواصفات لتلائم ظروف الاستعمالات المختلفة.

قام الباحثون بتحوير الراتنجات الفينولية أما عن طريق أضافة بعض المواد الى تلك الراتنجات أو من خلال إجراء بعض التحويرات الكيميائية على الراتنجات الفينولية نفسها Fluka و H&W

أو على المواد الأولية الداخلة في تركيب تلك الراتنجات [11,14,13,12,15]، ويجرى التحوير بمزجها أو تحويرها مع بوليمرات أخرى لتحسين المتانة للمنتجات النهائية.

أدى أستعمال البس فينو لات في تحضير بوليمرات الفينول فورمالديهايد إلى زيادة الخصائص الحرارية والميكانيكية لمثل هذه الراتنجات [16]. أذ تستعمل راتنجات البس فينول-(A) (BPA) والبس فينول-S (BPS) على نطاق واسع كبديل أقتصادي لجزء من الفينول المستعمل في تحضير راتنجات الفينول فورمالديهايد، لأنخفاض نسبة الفورمالين الى البس فينول المستعمل، فتنتج راتنجات الفينولية ذات هشاشة أقل بالمقارنة مع الراتنجات الفينول فورمالديهايد الاعتيادية [17]. وأستعملت بوليمرات البولي (أسيتال الفينيل) كعوامل تقوية لراتنجات الفينولية وزيادة متناتنها، مثل بولي (فورمال الفينيل) (PVF) [18] وبولى (بوتيرال الفينيل) (PVB) [19].

وبالنظر لما تتمتع به الراتنجات الفينولية من خصائص مميزة تؤهلها لأستعمالات صناعية متعددة إلا أن أحدى مساوئها هي الهشاشية بسبب وجود التراكيب الاروماتية ضمن السلاسل البوليمرية، لذا تهدف الدراسة الى أجراء بعض التحويرات على تلك الراتنجات، من خلال تحضير راتنجات الريسول للبس فينولA والبس فينولS، ثم تحضير مجموعة جديدة من كوبوليمراتها مع بولى كحول الفينيل.

### 1.2. المواد الكيميائية:-

جميع المواد المستخدمة في تحضير البوليمرات والمذيبات هی مواد نقیة من انتاج شر که Merck، BDH Aldrich,



### 2.2. الاجهزة المستخدمة:

### 1.2.2. جهاز مطيافية الأشعة تحت الحمراء (FTIR)

سجلت اطياف الأشعة تحت الحمراء ضمن المدى سجلت اطياف الأشعة تحت الحمراء ضمن المدى (4000-400) وباستعمال أقراص بروميد البوتاسيوم (KBr disc) وباستخدام جهاز نوع (FTIR-8400S SHIMADZU)، ياباني المنشأ/ قسم الكيمياء/ كلية العلوم/ جامعة البصرة.

### 2.2.2. أجهزة التحاليل الحرارية

سجلت منحنیات المسح التفاضلي المسعري (Perkin Elmer DSC-6)، وذلك باستخدام جهاز من نوع (Perkin Elmer DSC-6)، أمریكي المنشأ/ جامعة العلوم المالیزیة/ مالیزیا، بینها سجلت منحنیات التحلیل الحراري الوزني (TGA) باستخدام جهاز نوع (Perkin Elmer TGA-7)، أمریكي المنشأ/ جامعة العلوم المالیزیة/ مالیزیا، إذ قیست النهاذج المتصلبة تحت جو خامل من النتروجین وبمعدل تسخین  $^{-1}$  (10)  $^{-1}$  (10)  $^{-1}$  (10) قیاسات  $^{-1}$  (10) قیاسات  $^{-1}$  (13) قیاسات  $^{-1}$  (15) المنطقات  $^{-1}$  (16) القیاسات  $^{-1}$  (17) من النتروجین و  $^{-1}$  (18) القیاسات  $^{-1}$  (18) التعالی  $^{-1}$  (19) التعالی التعالی  $^{-1}$  (19) التعالی (19) التعالی

### 3. طرائق التحضير

# 1.3. تحضير راتنجي الريسول لمركبي البس فينول -A ومركب البس فينول -RS, RA)

الفور مالين للحصول على مادة لزجة القوام ذات لون عسلي. حضر راتنج الريسول لمركب البس فينول-S باتباع نفس طريقة العمل أعلاه للحصول على مادة لزجة القوام ذات لون أحمر. شخصت الراتنجات المحضرة بتقنية FTIR.

# 2.3. تحضير كوبوليمرات (البس فينولات-بولي كحول الفينيل)

# كحول كحول مينول - A -بولي كحول البس فينول - A -بولي كحول الفينيل (AV25, AV20, AV15, AV10, AV5)

وضع (10) من محلول الفورمالين (%37)، وسخن وعاء التفاعل لدرجة (40) في دورق زجاجي ذي ثلاث الفتحات مزود بمحرك ميكانيكي ومكثف ومحرار ثلاث الفتحات مزود بمحرك ميكانيكي ومكثف ومحرار ثم أضيف إليه (0.16) من البس فينول-A وبولي كحول الفينيل (PVA) بنسبة وزنية (%5) نسبة الى البس فينول-A بشكل تدريجي مع أضافة محلول هيدروكسيد الصوديوم بتركيز (%10) بشكل تدريجي لجعل وسط التفاعل قاعديا بتركيز (%10) بشكل تدريجي لجعل وسط التفاعل قاعديا ساعات مع الحفاظ على قاعدية المحلول ودرجة الحرارة ساعات مع الحفاظ على قاعدية المحلول ودرجة حرارة المختبر وتحت معادلته بإضافة محلول حامض الفسفوريك بتركيز (%10). فصل الناتج وتم تبخير ما تبقى من مادة الفور مالين للحصول على مادة لزجة القوام ذات لون عسلي.

أعيدت نفس طريقة العمل أعلاه ولكن باستخدام نسب وزنية مئوية مختلفة من PVA (10، 15، 20، 25%). شخصت الكوبوليمرات المحضرة بتقنية FTIR.

# S-بولي كحول .2.2.3 غضير كوبوليمرات البس فينول S-بولي كحول الفينيل (SV25, SV20, SV15, SV10, SV5)

حضرت هذه الكوبوليمرات بتفاعل البس فينول-S مع نسب مختلفة من بولى كحول الفينيل (5، 10، 15، 20، 25%)،

4. النتائج والمناقشة:

### 1.4. تحضر راتنجات الريسول (RA,RS)

حضر راتنجي الريسول البس فينولات-فورمالديهايد (RA وRS) من تفاعل البس فينو ل-A والبس فينو ل-S كلاً على حده مع محلول الفور مالين (%37) وبنسبة تزيد عن (4) مولات من الفورمالين لكل مول من البس فينولات لضمان دخول ثلاث أو أربع مجاميع مثيلول على كل جزيئة من البس فينولات [22,21]، وقد أجري التفاعل في وسط قاعدي بآستعمال محلول هيدروكسيد الصوديوم بتركيز (%10)، مؤدياً الى تكوين راتنجات الريسول. ويجب المحافظة على قاعدية المحلول ودرجة الحرارة خلال زمن التفاعل لمنع تبلمر وتصلب المادة كلياً، وكما موضح بالمعادلتين (1 و2):

حيث اتبعت نفس طريقة العمل الموضحة في الفقرة (1.2.2.3)، إذ تم الحصول على الناتج النهائي على هيئة مادة لزجة القوام ذات لون أحمر دموى لكل النسب المستعملة من PVA.

### 3.2.3. تقسية راتنجات الريسول والكوبوليمرات المحضرة

جرت تقسية راتنجات الريسول والكوبوليمرات المحضرة، وذلك بأخذ g (1) من الراتنجات ووضعت في فرن بدرجة حرارة ℃ (120) لمدة ثلاث ساعات ثم بدرجة حرارة ℃ (150) لمدة ساعتين لأكهال عملية التصلب وأجريت عملية التقسية اللاحقة (post curing) عن طريق وضع النهاذج في فرن بدرجة حرارة ℃ (180) ولمدة ساعتين. وبذلك تكون جاهزة لتقييمها حراريا باستخدام تقنيتي .(DSC, TGA)

HO CH<sub>3</sub>
OH + CH<sub>2</sub>O 
$$\frac{10\% \text{ NaOH}}{60\text{-}65 \text{ °C}}$$
HOH<sub>2</sub>C
HOH<sub>2</sub>C
HOH<sub>2</sub>C
HOH<sub>2</sub>C
RA

... (1)

...(2)

لغرض ترسيب هيدروكسيد الصوديوم على شكل ملح غير ذائب والذي يمكن أزالته بسهولة. المعروف أن هذا التفاعل يؤدي الى تكوين مجاميع المثيلول (CH<sub>2</sub>OH-) والتي تتجه الى الجب حفظها في جو بارد لتجنب بلمرتها. الموقع اورثو بالنسبة لمجموعة OH الفينولية، وإن السيطرة

وآستعمل حامض الفسفوريك لمعادلة الريسول الناتج على درجة الحرارة في هذا التفاعل ضرورية لتجنب عمليات البلمرة التي تحصل بين مجاميع المثيلول المتكون في أثناء التفاعل. وإن الراتنج النهائي يكون بهيئة مادة لزجة القوام

ان راتنجات الريسول المحضرة تمتلك العديد من مجاميع



الميثلول الفعالة والتي أستغلت لتحوير تلك الراتنجات فينول-S, كلاً على حده مع محلول الفورمالين (%37) مع لتحضير البوليمرات المشتركة.

### 2.4. تحضير الكويوليمرات (SV5-25, AV5-25)

حضرت كوبوليمرات للبس فينو لات- فورمالديهايد مع نسب وزنية مختلفة (3،10،15،10،5)% من بولي كحول الفينيل (PVA) من خلال تفاعل البس فينول-A والبس وكما موضح بالمعادلتين أدناه:

بواسطة التفاعلات الكيميائية مع بولي كحول الفينيل إدخال نسب وزنية مختلفة من PVA (5،20،15،10،5)% نسبة إلى مركبي BPA وBPS وعلى التوالي وجرى التفاعل في وسط قاعدي بآستعال محلول هيدروكسيد الصوديوم بتركيز (10%). ويجب السيطرة على قاعدية المحلول ودرجة الحرارة خلال زمن التفاعل لتجنب تبلمر مزيج التفاعل،

...(3) -H<sub>2</sub>C-CH CH<sub>2</sub>OH OH. 60-65 °C HOH<sub>2</sub>C **BPS** PVA SV

...(4)

المرونة؛ لان PVA يحتوي على سلسلة اليفاتية، إذ تعد احدى المثيلول العائدة للريسول المتكون أثناء التفاعل مع مجاميع الطرائق المتبعة في تقليل هشاشة تلك البوليمرات، إذ يمتلك الهيدروكسيل العائدة الي PVA وتكوين رابطة ايثرية، وكما PVA مجاميع الهيدروكسيل الفعالة يمكن من خلالها إجراء موضح في المعادلتين (3و4) أعلاه.

إن اضافة PVA إلى هذه الراتنجات هو لاعطاء صفة عملية التحوير بسهولة[23]. إذ من المتوقع أن تتفاعل مجاميع



### 3.4. أطباف الاشعة تحت الحمراء 3.4

شخصت جميع الراتنجات والكوبوليمرات المحضرة بتقنية FTIR. وقد أظهرت أطياف راتنجات البس فينولات وكبوليمراتها والموضحة جميعها بالاشكال (1-4) فينولات وكبوليمراتها والموضحة جميعها بالاشكال (1-4) وجود حزمة عريضة عند 10 cm² (3420-3320) تعزى الى تردد المط لمجموعة OH الفينولية [24] وظهور حزمة عند 10 cm² (900-585) cm² و BPA و BPS و لالة على التعويض الثلاثي او الرباعي لتلك المجاميع على الحلقات الاروماتية [25].

كها أظهرت أطياف الراتنجات المستندة الى BPA والموضحة في الشكل (1) حزمة ثنائية لمجموعة  $C(CH_3)_2$  عند الموقع

والمسال المناف وية عند المناف وية تعزى المناف والمناف والم

الجدول (1): الحزم الرئيسية لأطياف FTIR العائدة لراتنجات البس فينولات وكوبوليمراتها

الراتنجات	مواقع حزم الامتصاص للمجاميع الفعالة (cm <sup>-1</sup> )					
والكوبوليمرات	v(O-H)	ν(C-H) <sup>a,c</sup> ν(C-H) <sup>b,c</sup>	v(C=C)d	CH <sub>2</sub>	CH <sub>3</sub>	(S=O) <sup>a</sup> (S=O) <sup>b</sup>
RA	3409	2931 2862	1600	1473	1369 1288	-
AV25	3379	2966 2891	1604	1485	1384,1365 1265	-
RS	3321	2927	1589	1461	-	1261 1132
SV25	3419	2923 2854	1587	1465	-	1274 1128

a: str.(asym.) b: str.(sym.) c:(alkane) d: Ar.str

### 4.4. التحاليل الحرارية

استعملت نوعين من التقنيات هي تقنية المسح المسعري التفاضلي (DSC) وتقنية التحليل الحراري الوزني (TGA) للتعرف على السلوك الحراري للبوليمرات والكوبوليمرات المحضرة وتحديد مجالات استعالها.

جرى استخدام تقنية DSC لحساب درجة الانتقال لزجاجي

للراتنجات والكوبوليمرات المحضرة والمتصلبة حراريا . لوحظ من منحني DSC الشكل (5) أن Tg لراتنج RA هي  $^{\circ}$  (56) وتبدأ بالنقصان عند أضافة نسب مختلفة من PVA وخاصة عند ( $^{\circ}$ 5) و( $^{\circ}$ 10) و( $^{\circ}$ 5) وكها موضح



في الاشكال (8,7,6) بسبب امتلاك PVA لسلاسل الاليفاتية رفع قيم درجات الأنتقال الزجاجي. أما بالنسبة الى راتنجات والتي تزيد من مرونة سلاسل البوليمرية لراتنج الريسول البس فينول-S وكوبوليمراتها، يوضح الشكل (11) منحني حيث من المعروف ومن خلال الادبيات الكيميائية ان DSC Tg لراتنج الريسول RS والذي تبين فيه ان قيمة Tg لهذا تقل بزيادة مرونة السلاسل البوليمرية[28] في حين تبدء الراتنج هي  $^{\circ}$  (80)، في حين عند أضافة نسب مختلفة من قيم Tg بالزيادة عند النسب (15%) و(20%) الاشكال (9,10) ويمكن تفسير ذلك على أساس الزيادة في التشابك الحاصل في السلاسل البوليمرية [29]. والجدول (2) يوضح المنحنيات والموضحة في الاشكال (16-12)، وكذلك وجود قيم Tg للراتنج وكوبوليمراته المحضرة من البس فينول-A. حزمة أخرى باعثة للحرارة والتي يمكن أن تعزى الى تفكك راتنج RA وإن سبب ذلك يعود الى وجود مجموعة السلفون على التوالي. والجدول رقم (3) يوضح قيم ال Tg للراتنج القطبية إذ يعد عامل القطبية من العوامل التي تساعد على والكوبوليمرات المحضرة من البس فينول-S.

PVA الى راتنج RS يؤدى إلى نقصان في قيم Tg وسبب ذلك هو الزيادة في مرونة بعض السلاسل البوليمرية، كما تشير تلك من ناحية أخرى لوحظ أن قيمة Tg للراتنج RS أعلى مما في الكوبوليمرين AV20 وAV25 عند ℃ (263) و ℃ (256)

جدول (2): قيم درجة الأنتقال الزجاجي لراتنج الريسول (RA) وكوبوليمراته

الراتنجات والكوبوليمرات	درجة الأنتقال الزجاجي (Tg) <sup>0</sup> C
RA	56.49
AV5	47.48
AV10	48.33
AV15	116.33
AV20	82.90
AV25	47.40

جدول (3): قيم درجة الأنتقال الزجاجي لراتنج الريسول (RS) وكوبوليمراته

الراتنجات والكوبوليمرات	درجة الأنتقال الزجاجي C) (Tg)
RS	80.46
SV5	75.56
SV10	73.13
SV15	75.38
SV20	74.07
SV25	73.92



- عند درجة تفكك البوليمر بالاعتباد على نظرية ارينيوس.
- T<sub>50%</sub> والتي تمثل الدرجة الحرارية التي يفقد فيها البوليمر نصف و زنه.
- البوليمر وتم حسابها من منحنيات التفاضل المرافقة لمنحنيات التحليل الحراري الوزني.
- عند درجة حرارة معينة وهنا تم حسابها عند درجة (₹700).
- وحسامها من منحنيات التحليل الحراري الوزني، حیث لو حظ من خلال منحنیات TGA لر اتنجات الریسو ل

درس الثبات الحراري للبوليم ات والكوبوليم ات المتصلبة وكوبوليم اتها المحضرة، والمبينة في الاشكال (28-17) باستخدام تقنية التحليل الحراري الوزني والتي تشير منحنياته الى وجود حزمتى تفكك لأغلب الراتنجات والكوبوليمرات التغير في وزن النموذج كدالة لدرجة الحرارة، حيث تم حساب المحضرة من البس فينول -A وحزمة تفكك واحدة بعض الدوال الحرارية بالاعتهاد على تلك المنحنيات [30] مثل: للراتنجات والكوبوليمرات المحضرة من البس فينول-S، • طاقة التنشيط (E∆) لعملية التفكك والتي تم حساما فضلاً عن ذلك لوحظ أن كل من طاقة التنشيط لعملية التفكك،  $T_{50%}$  والنسبة المئوية للتفحم تكون أعلى بالنسبة للراتنجات المحضرة من البس فينول-S، وأن السبب هو وجود المجموعة القطبية -SO- في السلاسل البوليمرية مما الدرجة الحرارية القصوى (DT) التي يتفكك عندها يجعلها أكثر تحملاً للحرارة. أما وجود PVA بنسب مختلفة مع راتنجات الرسول للبس فينول-A والبس فينول-S فليس له تأثير يذكر على الثبات الحراري للكوبوليمرات • النسبة المئوية للتفحم والتي تمثل كمية المادة المتبقية بعد الحرق المحضرة وهذا ما بينته قيم الدوال الحرارية المحسوبة من تلك المنحنيات والموضحة في الجدول رقم (4)، وكم الوحظ إن ويوضح الجدول (4) الدوال الحرارية التي تم أستخراجها أغلب الراتنجات والكوبوليمرات المحضرة لها نسبة تفحم عالية (أعلى من 40%) مما يؤهلها لأستعالها كمواد رابطة (Binder materal) عند تحضر المتراكبات البوليمرية.

جدول (4): الدوال الحرارية لراتنجات الريسول والكوبوليمرات

الراتنجات والكوبوليمرات	درجة حرارة التفكك القصوى DT (°C)		T <sub>50%</sub> (°C)	T <sub>s</sub> (°C)	طاقة التنشيط ΔE (KJ/ mol)	نسبة التفحم % عند (700°C)
	$T_{_{\mathrm{op}1}}$	$T_{op2}$			(130/ 11101)	(700 C) 3.5
RA	329	400	561	-	43.21	45.76
AV5	307	407	586	-	44.81	45.97
AV10	396	-	639	-	49.11	47.36
AV15	407	-	564	-	01.42	45.47
AV20	300	400	557	-	41.76	43.88
AV25	304	411	550	-	41.31	43.35
RS	379		> 700	371	60.22	55.69
SV5	389	-	> 700	389	54.31	53.04
SV10	371	-	> 700	371	60.32	57.72
SV15	386	-	> 700	386	60.02	55.10
SV20	282	-	> 700	418	58.72	60.28
SV25	379	-	> 700	379	69.21	54.89



- 69(6), 1129–1136 (1998).
- [8] HD. Wu, MS. Lee, YD. Wu, YF. Su and CC.M. Ma, "Processability and Properties of Phenoxy Resin Toughened Phenolic Resin Composites", J. Appl. Polym. Sci., 63(7), 911–917 (1997).
- [9] R.K. Mishra, "Vibration Analysis of Glass Fiber Reinforced Composites", Int. J. Comput. Eng. Res., 2(3), 7762012) 789-).
- [10] CT. Lee, CC. M. Ma and HD. Wu, "Modified phenolic resin toughened by poly (alkylene oxide) and preparation thereof", Patent US 5956671, (1999).
- [11] C.C Riccardi, G.A. Aierbe, J.M Echeverría and I Mondragon, "Modelling of phenolic resin polymerization", polymer, 43(5), 1631–1639 (2002).
- [12] F. Cardona and J. Fedrigo, "Synthesis of elastomeric phenolic resins with improved toughness and flexibility", EUROTEC: Inaugural European Technical Conference on Plastics, Barcelona, Spain (2011).
- [13] L. Guo, L. Wang and J. Li, "Study on Modification of Phenol Formaldehyde Resin Adhesive with Ionic Liquid", 2nd International Conference on Electronic & Mechanical Engineering and Information Technology, Paris, France (2012).
- [14] Y. Huang, B. Fei, Y. Yu and R. Zhao, "Effect of Modification with Phenol Formaldehyde Resin on the Mechanical Properties of Wood from Chinese Fir", BioResources, 8(1), 272 282 (2013).
- [15] G.W. Cheng, "New Route to Improve Thermal Property of Phenolic Resin",

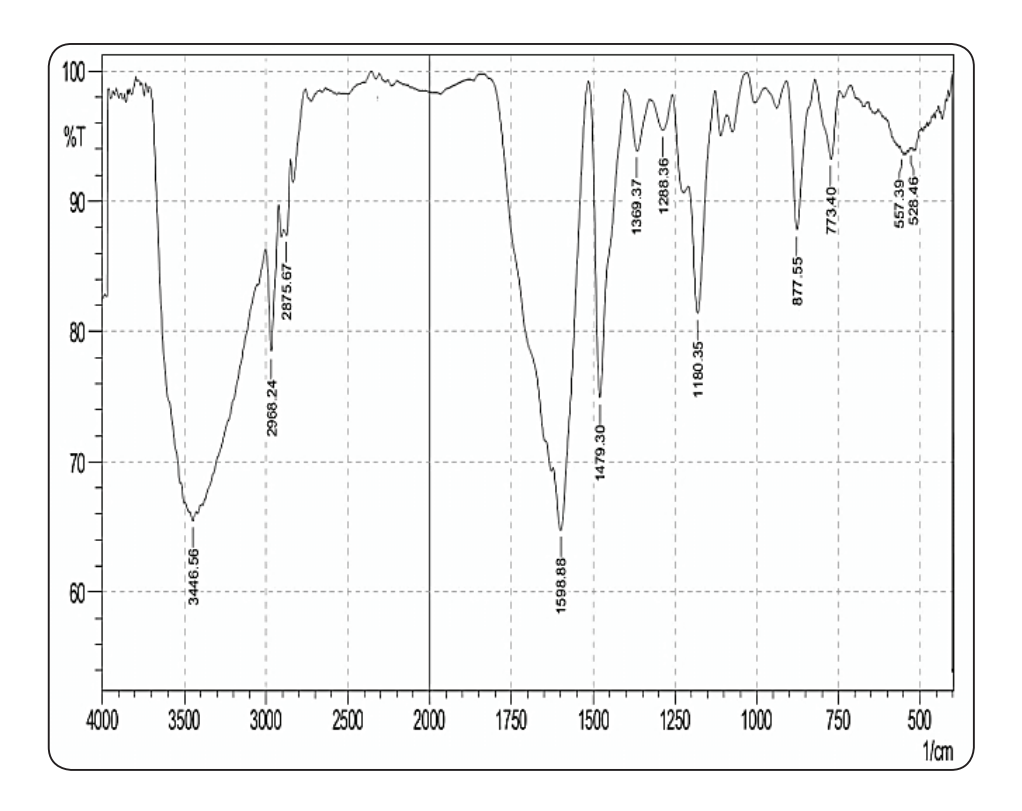
#### المصادر

- [1] J.A. Brydson, "Plastic Materials", 7th ed., Butterworth-Heinemann Inc., London, UK (1999).
- [2] A. Gardziella, L.A. Pilato and A. Knop, "Phenolic Resins: Chemistry, Applications, Standardization, Safety and Ecology", 2nd ed., Springer-Verlag Berlin and Heidelberg GmbH & Co. K., Berlin, Germany (2000).
- [3] E.C. Ramires and E. Frollini, "Resol and Novolac Glyoxal-Phenol Resins: Use as Matrices in Bio-Based Composites", 16th International Conference on Composite Structures, Porto (2011).
- [4] N.N. Ghosh, B. Kiskan and Y. Yagci, "Polybenzoxazines- New high: performance thermosetting resins Synthesis and properties", Prog. Polym. Sci., 32(11), 1344–1391 (2007).
- [5] S. AtthajariYakul and S. Vanichseni, "Development of a Kinetic Model for Resole Type Phenolic Resin Formation", Thammasat Int. J. Sc. Tech., 6(3), 13 18 (2001).
- [6] A.C. Gusse, P.D. Miller and T.J. Volk, "White-Rot Fungi Demonstrate First Biodegradation of Phenolic Resin", Environ. Sci. Technol., 40(13), 4196– 4199 (2006).
- [7] CC.M Ma, CT. Lee, HD. Wu, "Mechanical properties, thermal stability, and flame retardance of pultruded fiber-reinforced poly(ethylene oxide)-toughened novolaktype phenolic resin", J. Appl. Polym. Sci.,

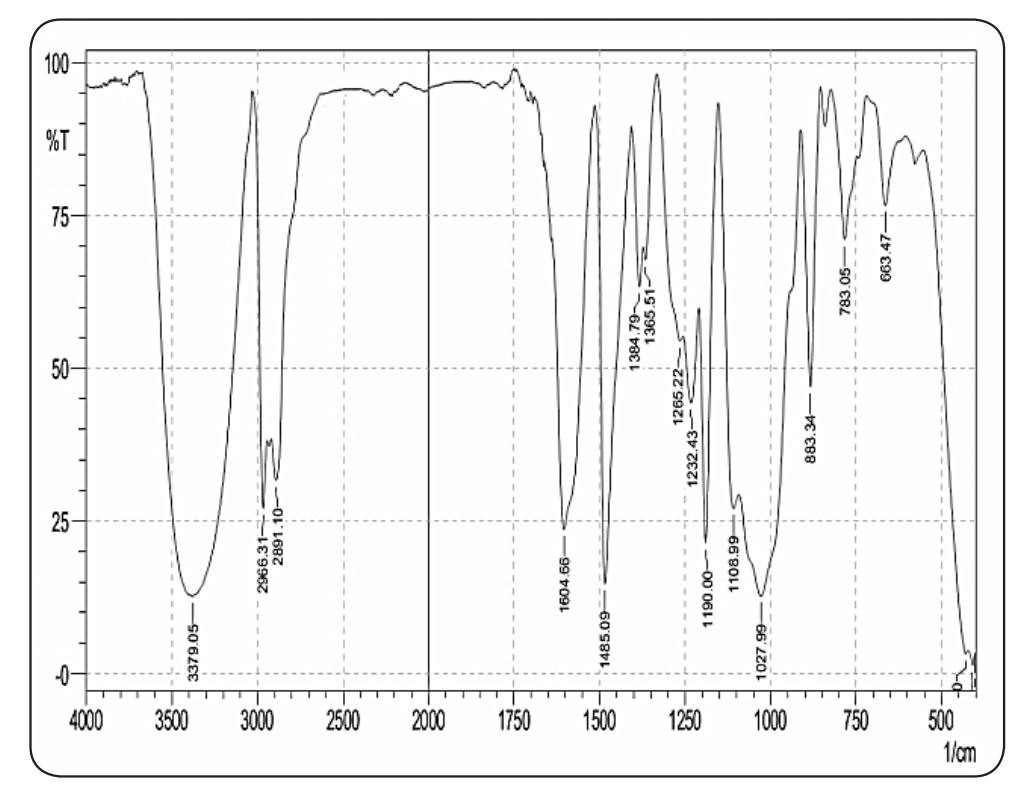
- Formaldehyde", J. Membra. Sci. Technol., 3(1), (2013).
- [24] R.M. Silverstein and F.X. Webster, "Spectrometric Identification Of Organic Compounds", 6th ed, John Wiley & Sons., New York, USA (1998).
- [25] A.M. Attaa, M.I. Abdoua, A.A. Elsayedb and M.E. Ragab, "New Bisphenol Novolac Epoxy Resins for Marine Primer Steel Coating Applications", Prog. Org. Coat., 63(4), 372–376 (2008).
- [26] B.H. Stuart, "Infrared Spectroscopy: Fundamentals and Applications", John Wiley & Sons, Inc., New York, USA (2004).
- [27] D.L. Pavia, G.M. Lampman and G.S. Kriz, "Introduction to Spectroscopy", 3rd ed., Thomson Learing, Inc., USA (2001).
- [28] C.T. Imrie; F.E. Karas and G.S.Attard; "Effect of backbone flexibility on the transitional properties of side-chain liquid-crystalline polymers", Macromolecules, 26(15), 3803-3810 (1993).
- [29] A. Shefer, M. Gottlieb; "Effect of crosslinks on the glass transition temperature of end-linked elastomers", Macromolecules, 25(15), 4036 4042 (1992).
- [30] A.T. Ozawa; "A New Method of Analyzing Thermogravimetric Data", Bull. Chem. Soc. Jpn., 38(11) 1881- 1886 (1965).

- Appl. Mech. Mater., 246- 247, 1047- 1051 (2013).
- [16] N. Gelashvili, G. Papava, M. Gurgenishvili, I. Chitrekashvili, Z. Molodinashvili and Z. Tabukashvili, "Phenol-Formaldehyde Type Polymers on the Basis of Bisphenols", Bull. Georg. Natl. Acad. Sci., 3(2), 84-90 (2009).
- [17] Technical Information Bisphenol A (2010). www.chemconserve.eu
- [18] A. Higgins, "Adhesive bonding of aircraft structures, Int. J. Adhes. Adhes., 20(5), 367–376 (2000).
- [19] S.S. Kim, D.C. Park, and D.G. Lee, "Characteristics of Carbon Fiber Phenolic Composite for Journal Bearing Materials", Compos. Struct., 66(1–4), 359–366 (2004).
- [20] A.M. Motawie, M.M. Badr, M.S. Amer, H.Y. Moustafa and I.M. Ali, "Some Coating Studies on Phenolic Epoxy/ Poly (Vinyl Acetal), Resins", J. Appl. Sci. Res., 4(9),1043-1051 (2008).
- [21] K. Sekmakas and T.H. Plaisance, "Preparation of Bisphenol-Formaldehyde Ethers using Nitric Acid", Patent US 4260730 (1981).
- [22] J.J. Krajewski and E.J. Murphy, "Production of Monomeric Etherified Bisphenol-Formaldehyde Condensates", Patent US 4310653 (1982).
- [23] M. Omidkhahl, M Z. Pedram and A.E. Amooghin, "Facilitated Transport of CO2 through DEA-Mediated Poly(Vinyl alcohol) Membrane Cross-Linked by

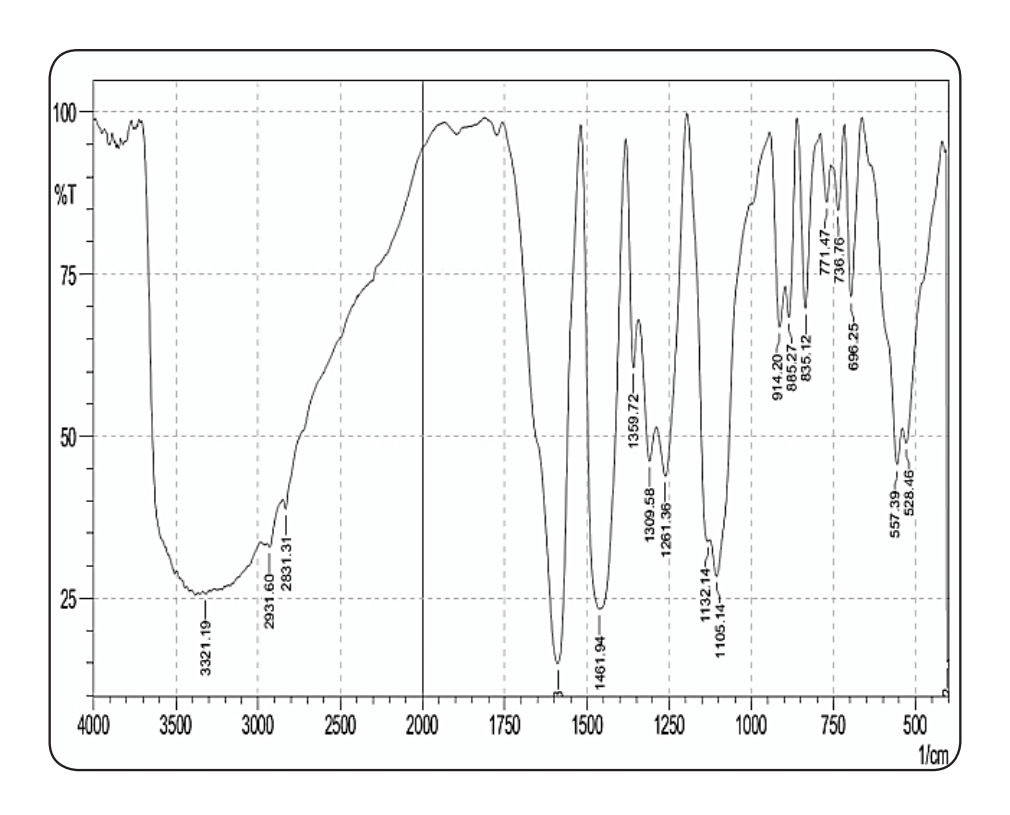




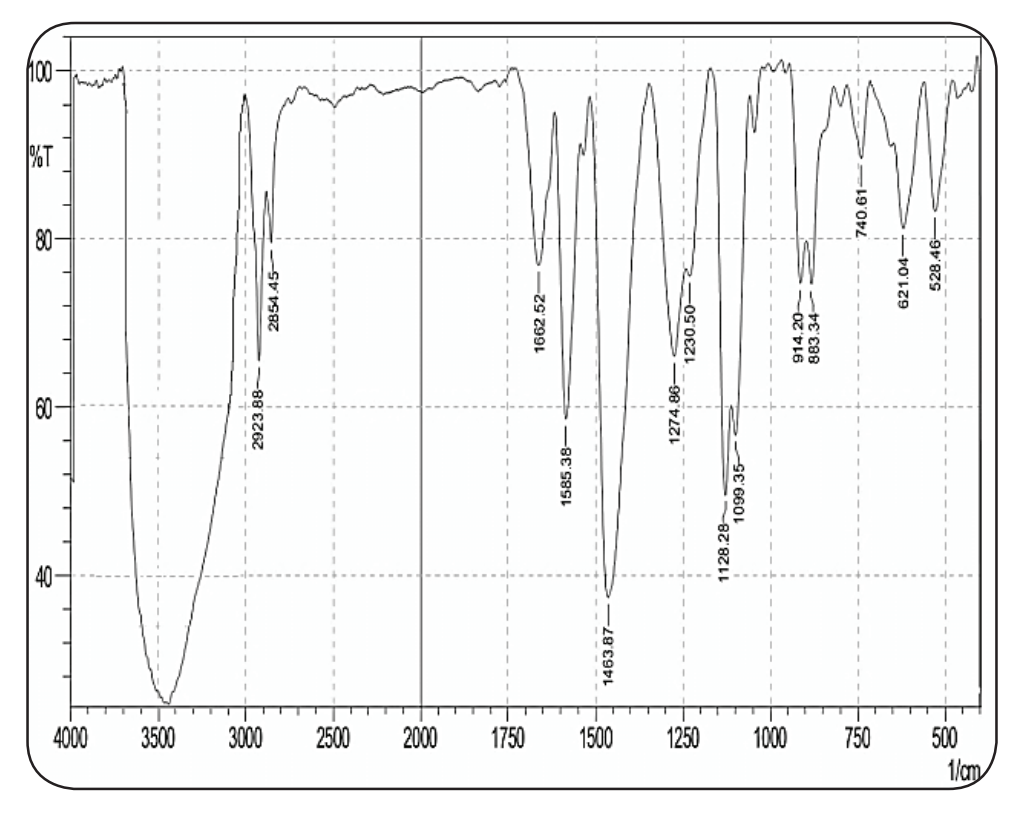
RA للراتنج FTIR للراتنج



AV25 للكوبوليمر FTIR الشكل (2): طيف

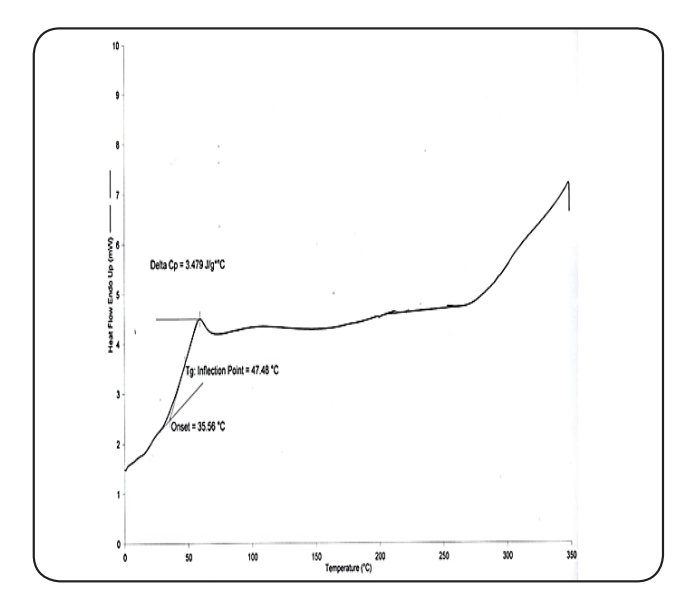


الشكل (3): طيف FTIR للراتنج RS

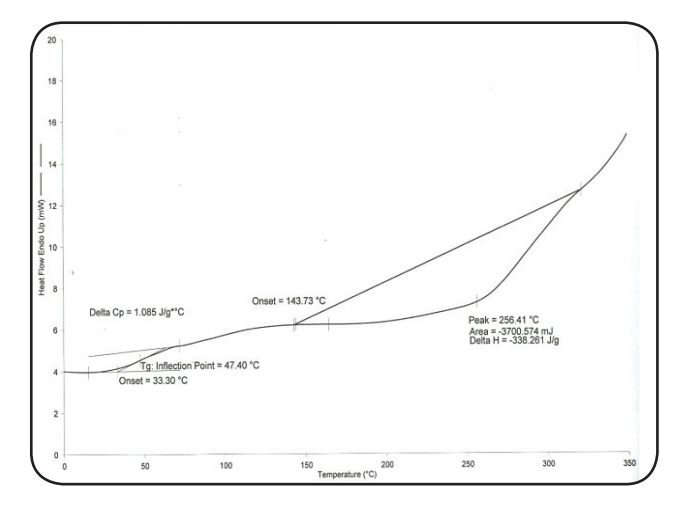


الشكل(4): طيف FTIR للكوبوليمر SV25

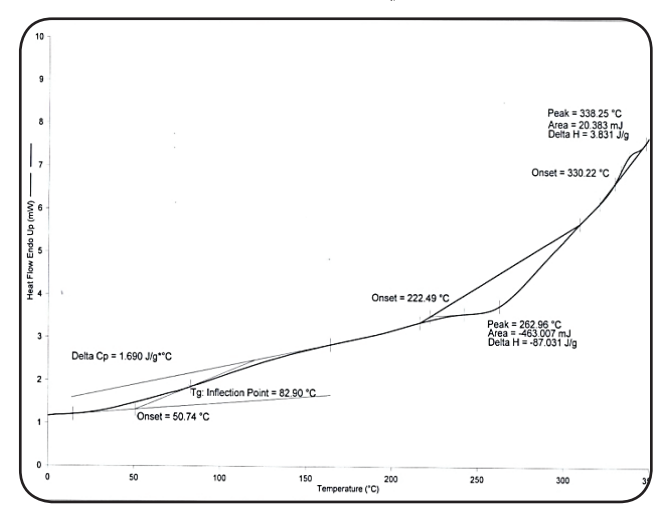




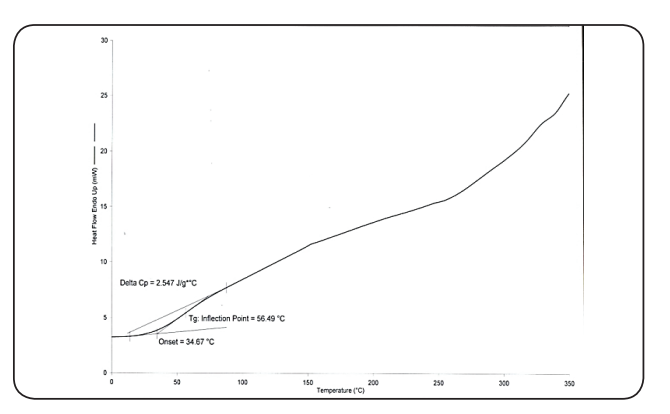
الشكل (6): منحنى DSC للكوبوليمر 6V5



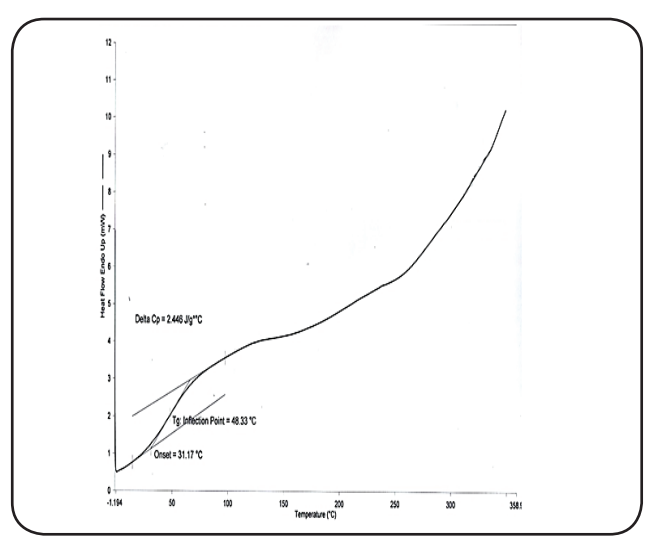
الشكل (8): منحنى DSC للكوبوليمر 8V25



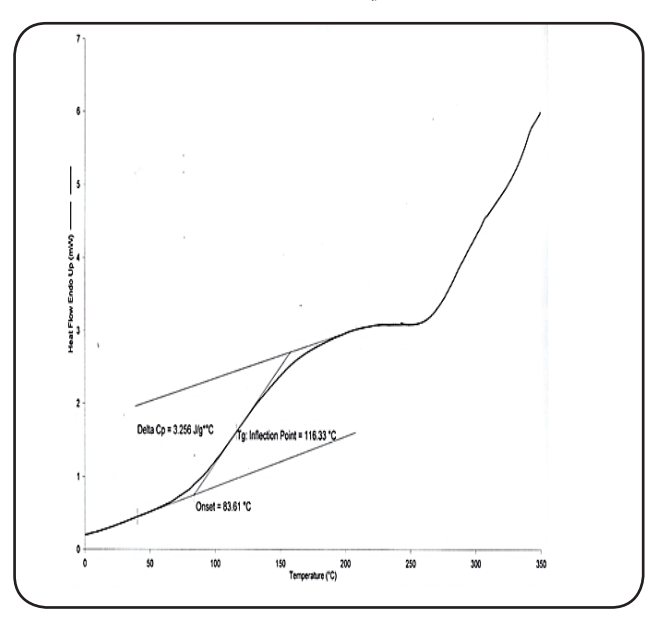
الشكل (10): منحنى DSC للكوبوليمر (10)



RA للراتنج DSC للراتنج

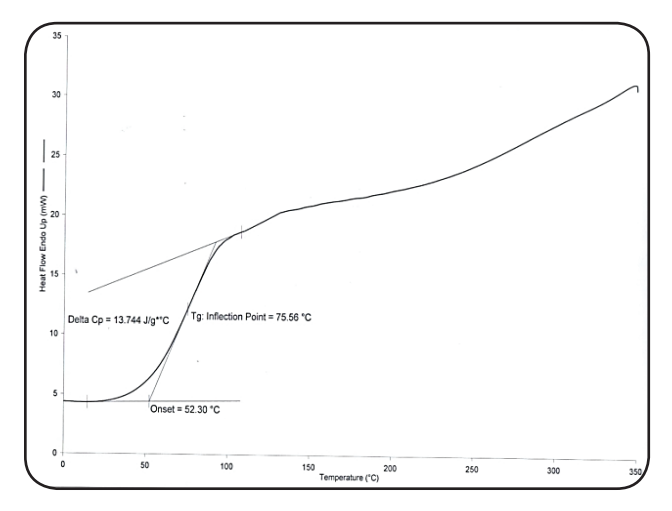


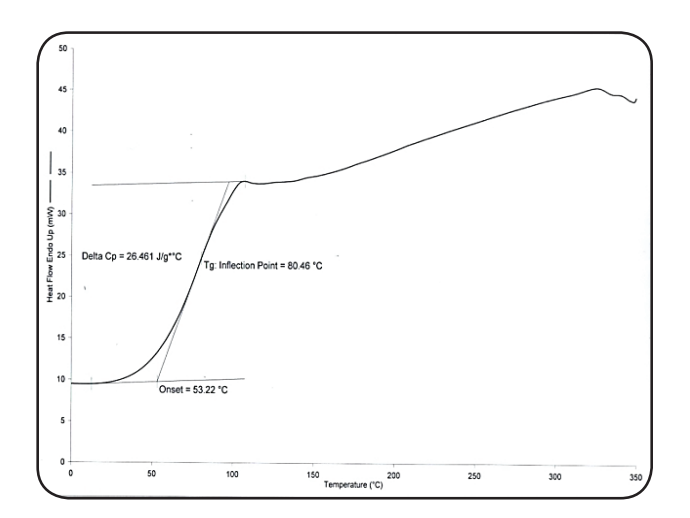
AV10 للكوبوليمر DSC الشكل الشكل



الشكل (9): منحنى DSC للكوبوليمر 9)

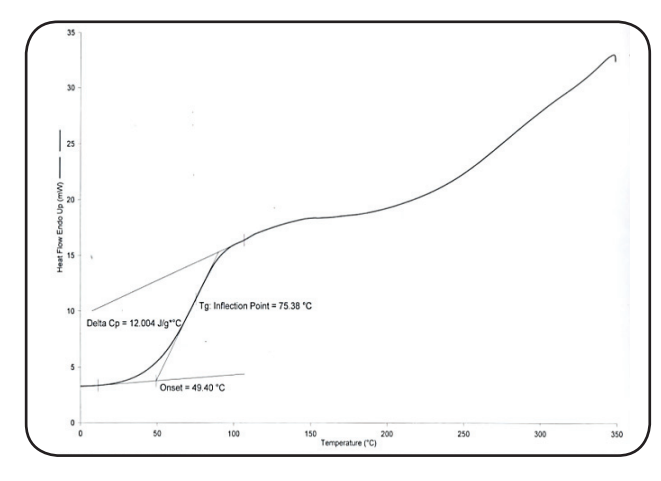


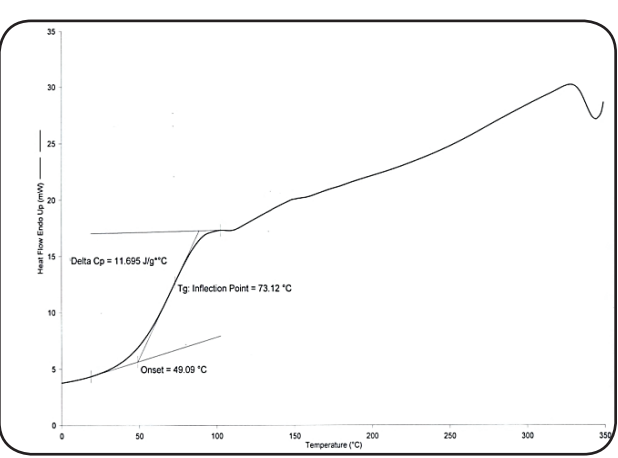




الشكل (12): منحنى DSC للكوبوليمر 5V5

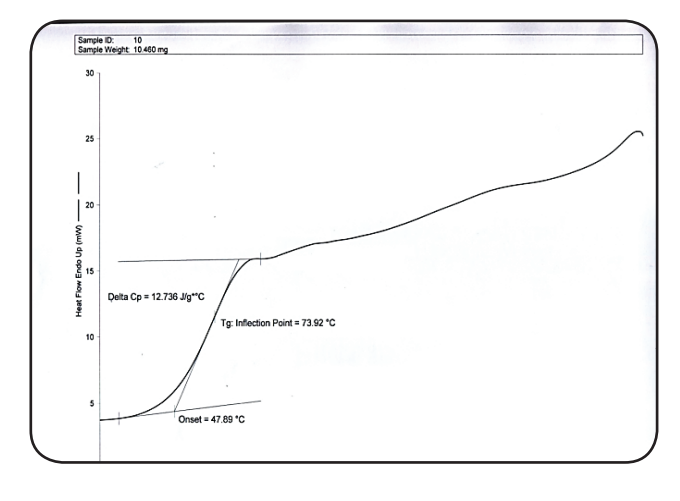
الشكل (11): منحني DSC للراتنج RS

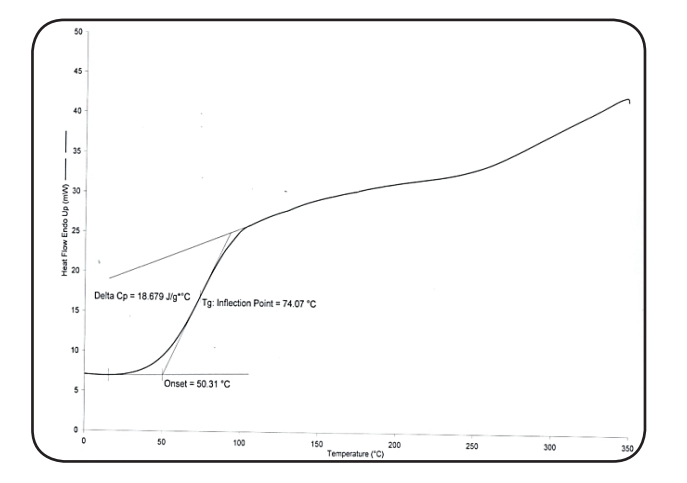




الشكل (14): منحني DSC للكوبوليمر 14)

SV الشكل (13): منحنى DSC للكوبوليمر

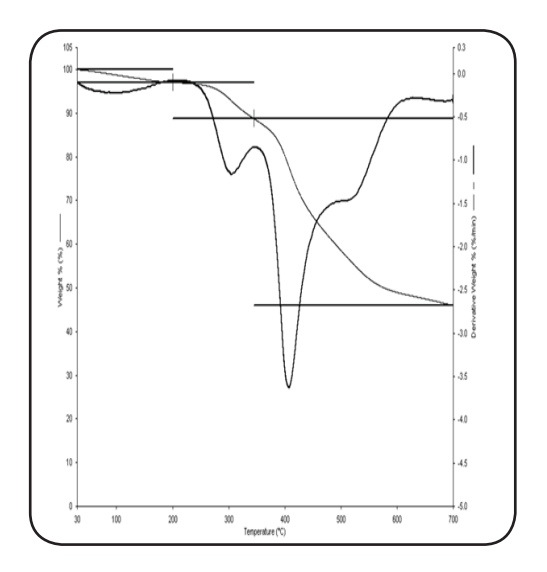




SV25 الشكل (16): منحني DSC للكوبوليمر

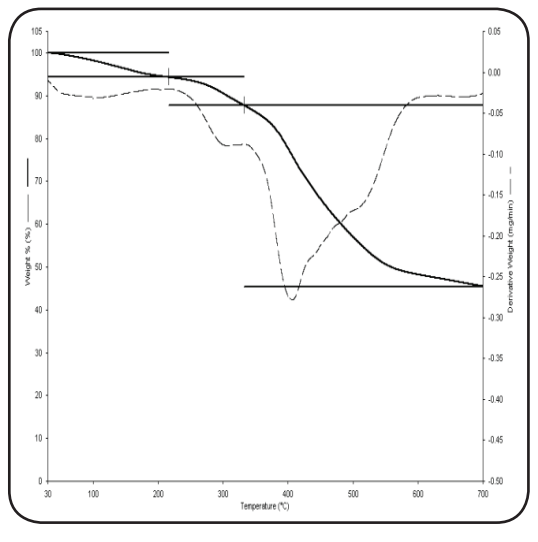
الشكل (15): منحنى DSC للكوبوليمر (15)

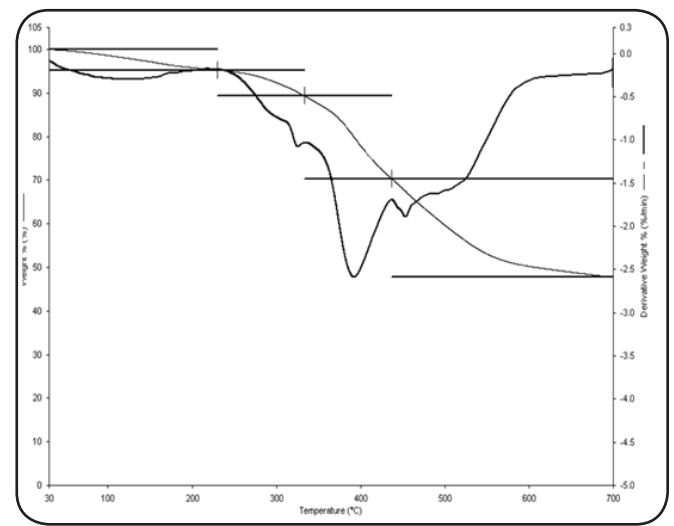




الشكل (18): منحني TGA للكوبوليمر AV5

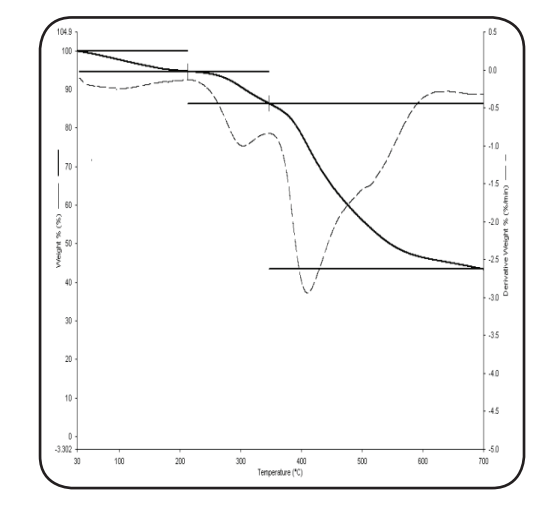
الشكل (17): منحني TGA للراتنج RA

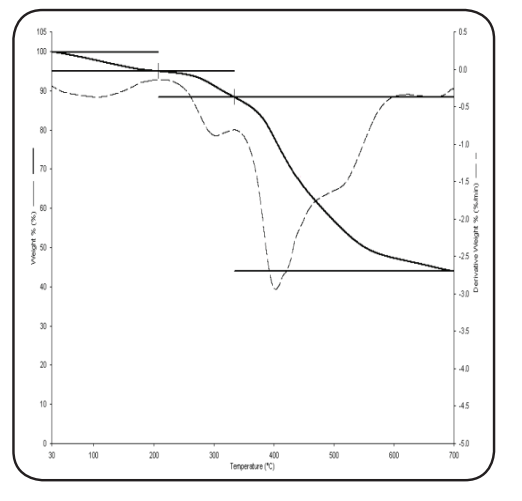




AV15 الشكل (20): منحني TGA للكوبوليمر

AV10 للكوبوليمر TGA الشكل (19)

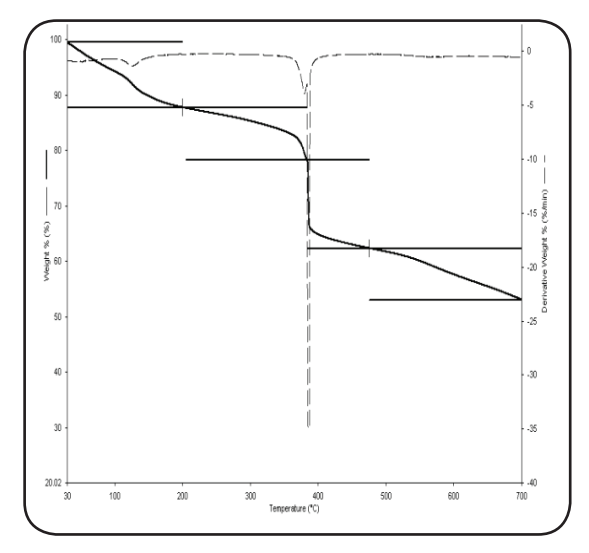




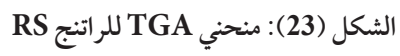
الشكل (22): منحني TGA للكوبوليمر 22)

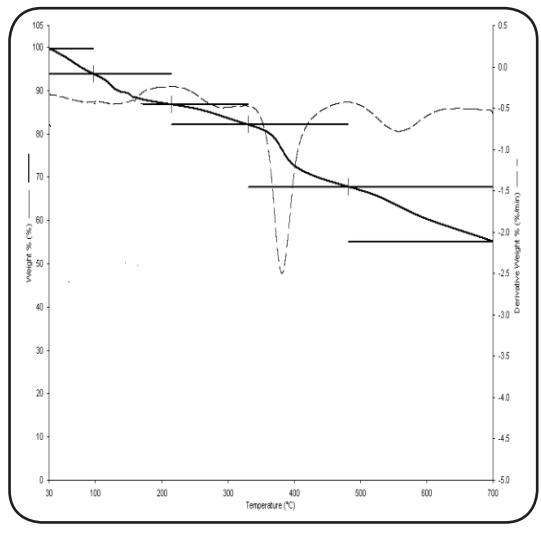
الشكل (21): منحنى TGA للكوبوليمر (21)

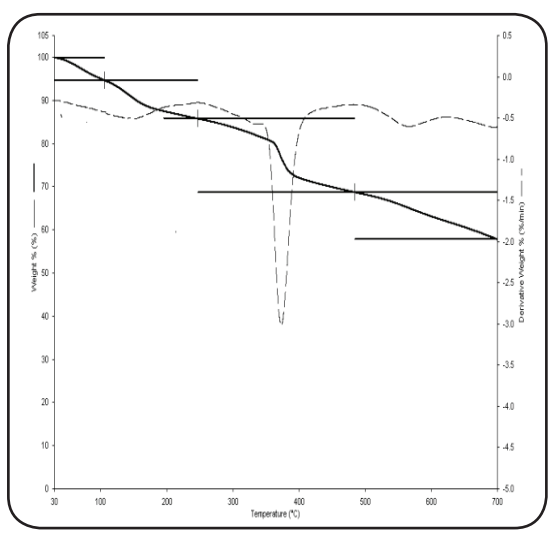




SV5 الشكل (24): منحني TGA للكوبوليمر

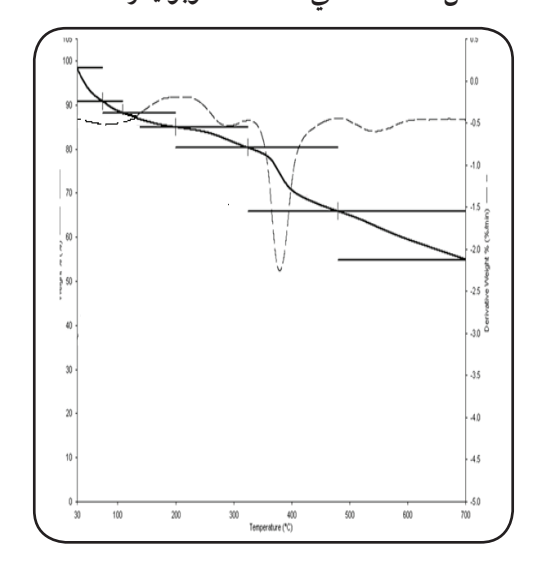


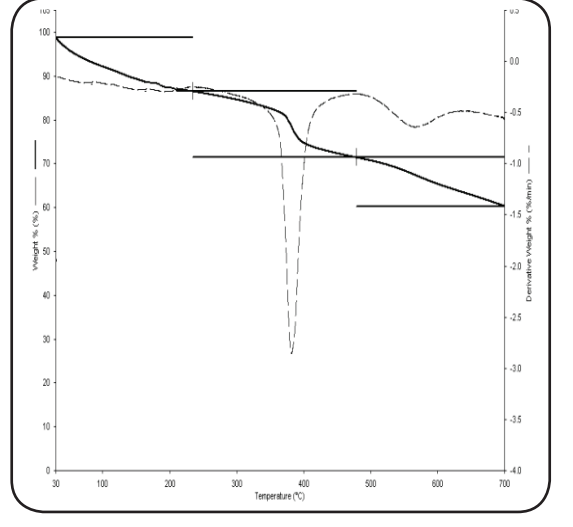




SV15 للكوبوليمر TGA الشكل (26): منحني

SV10 الشكل (25): منحنى TGA للكوبوليمر





الشكل (28): منحنى TGA للكوبوليمر 28)

الشكل (27): منحنى TGA للكوبوليمر (27)